

# 鐵道綫路爬行 及其防止

В·Г·阿利勃列赫特 著

人民鐵道出版社

## 序

苏联铁路货运量的不断增长，行车速度的提高和轴载重的增加，除了加强线路外，需要改善线路的经常维修方法。

上部建筑的许多病害，是由于线路爬行的结果。在发生钢轨纵向爬行的线路上，差不多有一半的维修费用是用来消除这种爬行所引起的病害的。

轨缝正常尺寸的破坏，是爬行最危险的后果之一。因此，在大量铺设长25m钢轨的区段上，特别要对轨缝的经常维修提出更高的要求。

在无缝线路区段上，当中间扣件维修不良时，可能产生爬行现象，由此而产生数值极大的附加纵向力。

近几年来，实行了防止线路爬行的一系列措施。工厂供应大批的弹簧防爬器，广泛地采用防爬型的分开式扣件，工务段保证有完备的液压轨缝调整仪。

线路工作人员，应很好地熟知造成线路爬行的情况和原因，防止爬行的办法，各种防爬器的构造，在木枕和钢筋混凝土轨枕的区段上采用不同长度的钢轨时，正线和站线上防爬器的安装图，以及消除爬行的方法和使用仪器的方法。

作者——技术科学博士B·Г·阿利勃列赫特研究了上述问题，因之编著本书，可作为工务段长、养路领工具以及其他线路工程技术人员作参考。

交通部工务总局总工程师

A·纳乌莫夫

## 目 录

### 序

### 緒言

|                                  |    |
|----------------------------------|----|
| <b>第一章 造成线路爬行的原因</b>             | 5  |
| 1. 在列车作用下轨节沿线路移动时其弹性模量的确定        | 5  |
| 2. 机车车辆的车轮通过时轨底各点的移动             | 10 |
| 3. 在非制动区段上造成线路爬行的原因              | 12 |
| <b>第二章 线路爬行力及其数值的确定</b>          | 17 |
| 1. 概述                            | 17 |
| 2. 在非制动区段上计算线路爬行力的方法             | 18 |
| 3. 二轴及三轴车辆转向架作用在线路上的特性及此时所产生的爬行力 | 28 |
| 4. 因制动摩擦引起的附加爬行力及其数值的确定          | 32 |
| 5. 标准载重车辆通过时线路爬行的方向及其大小          | 37 |
| 6. 温度对钢轨纵向移动的影响。摇头在线路形成爬行时的作用    | 45 |

|  |            |
|--|------------|
| 7. 确定线路最大爬行力的試驗.....                         | 51         |
| 1931年工程师H·И·伊万諾夫的試驗.....                     | 51         |
| 1938年中央科学研究院的試驗.....                         | 53         |
| 1948~1949年莫斯科运输工程学院的試驗.....                  | 59         |
| 1949~1950年工程师M·C·博欽科夫的試驗.....                | 62         |
| 1955~1956年在莫斯科——庫尔斯克——<br>頓巴斯铁路試驗地段上的資料..... | 64         |
| 美国在确定轨枕上防爬器的压力数值的試驗.....                     | 65         |
| 8. 測定线路爬行力的試驗.....                           | 70         |
| 9. 确定有关爬行与抵抗钢轨纵向移动的試驗.....                   | 75         |
| <b>第三章 軌节抵抗纵向移动的阻力.....</b>                  | <b>82</b>  |
| 1. 无荷载的若干单根轨枕和联成防爬组的轨<br>枕抵抗移动的阻力.....       | 82         |
| 2. 轨节上有垂直荷载时轨枕抵抗移动的阻力.....                   | 85         |
| <b>第四章 防爬设备的作用及结构.....</b>                   | <b>88</b>  |
| 1. 防爬型中间扣件的计算方法.....                         | 88         |
| 2. 国内外防爬器的结构及其抵抗沿钢轨移动<br>的阻力的计算原理.....       | 97         |
| 3. 各种不同类型防爬器的試驗結果.....                       | 104        |
| <b>第五章 线路防爬锁定图.....</b>                      | <b>106</b> |
| 1. 采用在正线上的防爬锁定图.....                         | 106        |

|                           |  |            |
|---------------------------|--|------------|
| 2.                        | 道岔和站線的防爬鎖定.....                          | 111        |
| 3.                        | 窄軌鐵路線路防爬鎖定的特性.....                       | 115        |
| 4.                        | 長鋼軌和無縫線路區段上的線路防爬鎖定.....                  | 121        |
| 5.                        | 在鋼筋混凝土軌枕的線路上防爬鎖定的特性.....                 | 124        |
| 6.                        | 防爬設備的維修。線路爬行及列車運行時<br>的安全問題.....         | 125        |
| <b>第六章 線路爬行病害的消除.....</b> |  | <b>130</b> |
| 1.                        | 概述。長度為12.5、25、37.5及50m鋼軌<br>軌縫的養護標準..... | 130        |
| 2.                        | 採用分開式中間扣件時測量長鋼軌軌縫的<br>工作組織.....          | 135        |
| 3.                        | 採用撞軌器和水力撞軌器來整正軌縫的工作組織.....               | 137        |

## 緒 言

線路爬行是鋼軌在运行列車車輪的作用下沿軌枕的一種縱向移動。當鋼軌與軌枕的連接十分可靠，而枕木盒中的道碴不足和不夠密實時，常常可以發現鋼軌連同軌枕在道床上縱向移動。

爬行使鐵路線路的正常工作情況遭到嚴重破壞，其中最主要的是：

a) 在線路區段一端接頭處形成瞎縫，在另一端形成軌縫過大。在沒有軌縫的那段長度上，在夏季，溫度升高時，鋼軌內出現很大的縱向壓力，使軌節的穩定性遭到破壞；軌縫過大的地段，在冬季，當溫度降低時，鋼軌內出現過大的拉力，因而可能剪斷螺栓，並拉斷鋼軌接頭；

b) 軌枕沿密實的碴床面移動，造成線路下沉。當接頭軌枕移開原來的位置時，得到的後果更為嚴重，因為在接頭處機車車輛車輪的動力作用是較大的；

c) 兩股軌線移動不一樣，造成軌枕傾斜並使軌距變窄。

計算一下有線路爬行地段的全部維修費用，在消除爬行所引起的病害上差不多要化去一半。

線路爬行的現象，在十九世紀最後幾十年的年代已經知道了，在國際及全俄交通會議以及工程師代表大會上，還不只一次地把它作為討論的對象。

但是在鐵路上還沒有大量的載重量為50～60噸的四軸車輛之前，爬行是比較容易防止的，往往在整個區段上不設防爬設備。這一方面是由於車輛上的荷載不大，因而當列車通過

时产生的爬行力很小；另一方面是由于貨物列車运行速度小及对数很少，这在俄国革命前的許多鐵路來說是普遍的。此外，貨物列車沒有自動制动裝置，因此，在制动时由于摩擦引起的爬行力也是不十分大的。在1908年确定的I-a、II-a及III-a型鋼軌，規定要用裙式魚尾扳來連接，其結構設計是将接头軌枕对鋼軌端的位置鎖定，使接头軌枕抵抗爬行力。

長为 10.67 m 的鋼軌在鐵路網上是极普遍的，但較短一些的鋪設在線路上也很多，实际上在这种长度上，是有两根接头軌枕在阻止不大的爬行力。应当考虑到，当列車运行速度相当小和輕型二軸車輛行驶时，由于道釘对軌底的側压而引起的縱向阻力，在阻止鋼軌縱向位移力的总数中，占有很大的比重。

1930年到1935年，國內鐵路开始很快地装备了有轉向架的四軸貨車。正如最近的情形（下面还要指出）对線路爬行力的急剧增加起了决定的作用。此外，貨物車輛实行了自動制动裝置，大大的增加了列車运行速度，也促使爬行力的增大。

由于上述結果，在运行的滿載列車作用下出現的線路爬行力，这比单位阻力和裙式魚尾扳計入防爬体系內的接头軌枕阻力大得多。致使在沒有专用的防爬設備时，線路爬行成为普遍的現象，因而使防止爬行成为各工务段必要的責任。在短期內，在線路上需要制造和安装成千上万个防爬器，并須教会線路工作人員在夏季和冬季时正确使用这些新的防爬設備。

为了不容許線路有爬行，必須了解引起線路爬行的原因，并能判定爬行力的大小和計算防爬体系內的軌枕需要量。

关于这些問題的解决，必須指出國內外許多专家的功

續。工程师 M·T·契林諾夫及舒斯特洛夫規定鋼軌因溫度作用的位移圖和軌枕抵抗位移的最大阻力；工程师 O·H·烏斯科娃，在苏联，她第一个研究各种防爬结构的夾持力；工程师安特列安諾夫，領工員 И·金斯托巴洛夫及副教授 Н·Г·依斯托明提出防爬器的定名，并做了多次努力，使其得以采用；教授 К·Н·米申科及 М·А·甫利什曼研究了有关机車車輪沿鋼軌滾压时鋼軌移动的許多問題。1944年到1950年，教授 Г·М·沙湖年慈，В·Н·达尼洛夫及 М·Ф·維列戈，以及技术科学候补博士 О·П·耶尔什科夫和 Е·М·勃罗尔格完成了由列車荷載引起的軌道計算原理的全面研究工作，使了解線路爬行力的性質上大為簡便。

在国外，有美国的德訖松，德国的齐姆麦尔曼、瓦特曼、特克斯与查尔列尔，法国的甫爾馬里約、馬尔丁及其他学者从事于線路爬行的研究，在研究線路爬行的問題中，必須指出德訖松教授和齐姆麦尔曼博士肯定的成績。他們提供了新的情况——由于鋼軌撓曲时引起其底部一侧的加長，正与机車車輛的車輪沿鋼軌通过时引起鋼軌縱向移动的因素相同。根据这种正确的情况，他們及其他許多专家把鋼軌看成为支点間的撓曲的梁，試圖解决線路爬行力的問題，但沒有获得成功，这是因为沒有考慮到鋼軌基础的縱向彈性。

为了了解線路爬行的性質和研究其預防措施，应在列車車輪沿鋼軌运行时全面地分析鋼軌基础的作用情况。必須確定鋼軌基础在水平面上的彈性模量；当列車車輪运行时，研究彈性基础和軌底相互作用的性質，分析在列車作用下軌枕抵抗移动的阻力。

莫斯科铁路运输工程学院引用了1947~1952年理論与实际工作上的成果，創造了線路爬行的理論以說明这种現象的各个主要过程。同时，創造了爬行力的实用檢算法，以及在

各种不同的情况时，对縱向線路稳定措施采取必要的鋼軌縱向移动值。所述的研究工作，在設計与計算无縫線路和防爬型的中間扣件构造时，同样有效。

同时，鐵路上积累了在各种不同条件下很多的防爬設備維修經驗。

本書闡明線路爬行的原因，确定最大爬行力的方法，叙述国内外采用的各种防爬結構，以及加强線路防止爬行的实用办法，分析工作中的先进經驗。

## 第一章 造成线路爬行的原因

### 1. 在列車作用下軌枕沿線路移动时其弹性模量的確定

在列車运行的过程中，每根軌枕承受着不断改变着的垂直荷載。当車輪直接处于所研究的軌枕上时，此荷載达到最大；当軌枕处在敞車的轉向架之間时，垂直荷載等于零。

当解决与水平力作用有关的許多問題时，必須了解鋼軌撓曲半波各点上軌枕抵抗位移的阻力。这些資料在解决爬行的原因以及在横向力作用下計算軌道应力时是必要的，此横向力是运行列車的車輪傳递给鋼軌的；这些資料当鋼軌产生較大的縱向压力时，計算線路的稳定性同样必要。

为了获得必要的計算資料，1950年莫斯科铁路运输工程学院曾在莫斯科环城铁路运营線路的試驗区段上，进行了專門性的研究。在試驗过程中，每次承担新垂直荷載的軌枕沿線路发生移动；同时进行精确度到 $0.01\text{mm}$ 的移动值和精确度到 $10\text{kg}$ 的軌枕抵抗移动阻力的測量。

为了避免在規定的荷載下偶然产生的不正确数值，对尺寸大小相等的軌枕重复試驗了多次。在每次重复試驗以前，进行了線路整正，并夯实軌枕下的道床。

試驗是以每根軌枕承受变化在 $445\sim5355\text{kg}$  的八个垂直荷載下进行的。試驗一共进行68次。在直接擋置于被試驗軌枕的鋼軌上，安設 ЦНИИ 的測量小車，在它的末端裝設頻率为 $2500\sim2800$ 的电动振动器，其頻率应与列車以平均速度通过时所产生的頻率完全一致。

試驗是在同样大小的几根 I-a 型枕木上作的。試驗区

段的道床是中砂，不洁率小于10%。

試驗的結果得出，軌枕抵抗沿線路移动的阻力可根据不同垂直荷載作用下沿線路移动值的曲線（图1）。曲線的傾

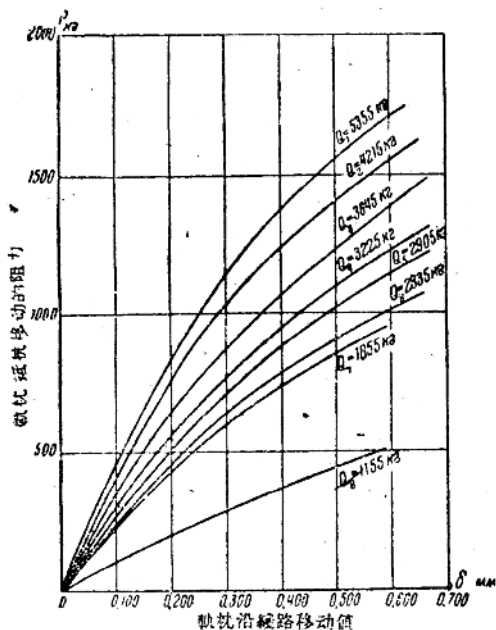


图1 枕木抵抗沿线路移动的阻力和在不同值的垂直荷载作用下移动值的关系曲线

斜角說明水平面內鋼軌基礎对位移的阻力；对于每一条已知曲線，这个角度不是固定不变的，它按移动的增加而減小。因此，經驗証明，基础的阻力依賴于两个因素：某一时刻內軌枕所承受的垂直荷載；軌枕对原来位置的移动值。但从图1上可以看出，所有曲線的前半部份实际上是直的；在近似值上它們表示軌枕在彈性变形区的工作，其正确性足够作为

实际上計算之用。这样的假定可以认为，在枕木上每一次一定荷載下縱向基础的阻力不变，并可用比例系数  $k_u$ （因次  $\text{kg/cm}$ ）来测定，因次表示枕木移动一厘米时施于枕木的縱向力（公斤）。此系数在图表上系曲綫在前半部分傾斜角的正切，当軌枕上的荷載增加时，曲綫趋陡，比例系数值增大，因此，在分析时，此系数可按下式計算

$$k_u = k_u^o + A Q \quad (1)$$

式中  $k_u$ ——在一定的荷載下，軌枕沿線路移动的比例系数 ( $\text{kg/cm}$ )；

$k_u^o$ ——在沒有垂直荷載时，軌枕沿線路移动的比例系数 ( $\text{kg/cm}$ )；

$Q$ ——軌枕承受的垂直荷載 ( $\text{kg}$ )；

$A$ ——計算道碴質量和軌枕类型的系数 ( $\text{cm}^{-1}$ )。

式 (1) 中的第一項值与枕木盒的道碴填滿及其密实程度有关。

对于中砂道碴，試驗的結果得出下列数据：

$$k_u^o = 5720 \text{ kg/cm}, \quad A = 9.13 \text{ cm}^{-1}.$$

1953～1954年，第涅伯尔毕特罗夫斯克运输工程学院副教授И·Ф·依沙科夫以不同垂直荷載下的每一次試驗中，軌枕橫着線路移动时对貝壳及碎石道碴的研究中；技术科学候补博士С·Н·波波夫（中央科学研究院）对碎石、卵石和混合道碴用夹持在安装压模中間的道床体抵抗移动阻力的測定中；以及阿尔汉格尔斯克林业院工程师Л·Е·沙文（对窄軌鐵路砂質道床上的軌枕，按莫斯科运输工程学院的方法进行研究）均得出与图1相类似的曲綫。

比例系数与垂直荷載有关的一般特性，在上述情况下实际上是相同的，但公式 (1) 中  $k_u^o$  及  $A$  項的值变化极大。如当压模在平面上呈圓形或方形时的移动，这些参数值是相

同的，它与移动的方向无关；但在同一荷载的作用下压模拉成长形时（例如在靠近轨枕处），轨枕沿轨距横移时的比例系数，要比轨枕沿线路纵移时为大。这显然地说明了在垂直力的作用下，在松散材料的道床内形成了挤压区，其形状与大小和压模的构造有关，而松散材料的颗粒，在测量较多方向上的移动，比垂直方向上要困难得多。

在计算铁路线路时，一般把线路看成为支承在连续弹性基础上的梁。线路垂直面内的阻力，用钢轨的弹性模量来测定，其数值为作用于钢轨单位长度上引起 1 cm 沉落时所需的力。模量的计算单位以  $\text{kg}/\text{cm}^2$  计；已知的钢轨基础，其数值在计算上采用常数值。

钢轨基础对水平面位移的阻力，同样可用水平面内钢轨基础的弹性模量  $U_z$  来测定，其数值为施于一股轨线基础一单位长度 (cm) 上使其移动 1 厘米所需的力 ( $\text{kg}/\text{cm}^2$ )； $U_z$  按下式确定。

$$U_z = \frac{k_{uz}}{2l} = \frac{k_{uz}^o}{2l} + \frac{AQ}{2l}, \quad (2)$$

式中  $l$  —— 轨枕中心线间的距离，或用下式表示

$$U_z^o = \frac{k_{uz}^o}{2l},$$

$$\text{则有 } U_z = U_z^o + Aq = U_z^o + AU_y, \quad (2a)$$

式中  $y$  —— 已知截面的挠曲值；

$U$  —— 钢轨基础（垂直面）的弹性模量。

利用垂直面上的弹性模量和已知的截面的挠曲值，用式 (2a) 可以求得钢轨基础在水平面内的弹性模量。

值得指出，在靠近车轮的挠曲半波区处，钢轨基础在水平面内的弹性模量，要比垂直面的为大。

例如，如  $U = 200 \text{ kg}/\text{cm}^2$  (这是标准的)， $A = 9.13 \text{ cm}^{-1}$ ，

$k_u^0 = 5720 \text{ kg/cm}$ , 軌枕中心線間的距離  $l = 55 \text{ cm}$ , 則車輪下撓曲区的各段的  $U_z$  值列于表 1 中。

### 撓曲半波各点在标准情况时, 弹性模量 $U$ 与 $U_z$ 间的关系

表 1

| 截面位置                                   | 撓曲值<br>$y$ (cm) | $U$<br>(kg/cm <sup>2</sup> ) | $U_z$<br>(kg/cm <sup>2</sup> ) | $\frac{U_z}{U}$ |
|--|-----------------|------------------------------|--------------------------------|-----------------|
| 直接作用在車輪下                               | 0.30            | 200                          | 600                            | 3.00            |
| 在正撓曲半波距車輪 $\frac{1}{4}$ 長度處 (約 60 cm)  | 0.190           | 200                          | 412                            | 2.06            |
| 在正撓曲半波距車輪 $\frac{2}{3}$ 長度處 (約 120 cm) | 0.062           | 200                          | 166                            | 0.84            |
| 在正撓曲半波邊緣處 (距車輪 180 cm 处)               | —               | 200                          | —                              | 0.26            |

了解这些模量間的关系在解决水平力作用的实际問題中是很重要的。前面已經指出, 这种关系随撓曲半波的长度而改变, 但对固定的截面來說, 根据一年四季温度与湿度的不同, 可以有很大的变化。在秋末冬初, 当枕木盒內的道碴已处于冻结的初期, 而軌枕下的道床基础还处于不冻状态,  $\frac{U_z}{U}$  的比值急趋最大。当道床冻透至截面下部时, 鋼軌基础

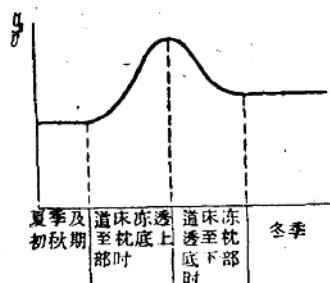


图 2 一年四季内  $\frac{U_z}{U}$  的变化  
( $U_z$ —水平面内鋼軌基础的彈性模量;  
 $U$ —垂直面内鋼軌基础的彈性模量)

在垂直面內的彈性模量开始增大, 因而  $\frac{U_z}{U}$  的比值減少。但冬季时, 这个比值要比夏季时为大。

分析  $\frac{U_z}{U}$  的关系, 可以說明許多普遍性的現象, 例如, 在寒冻初期, 在沒有溫度应力自動調整的无缝线路区段上, 线路爬行值的急剧增长, 以及在冬季时焊接长

鋼軌要超过夏季时的縱向移动，具有整体基础以及由于輕型車輛荷載引起弯曲不大的莫斯科地下鐵道，即使水平面內的彈性模量与地上鐵道相同，也不会产生線路的爬行。若沒有防爬設備时，100m 的軌节（P50 型）爬行得十分厉害，这是由于水平面內鋼軌基础的彈性模量很高的緣故。

## 2. 机車車輛的車輪通过时軌底各点的移动

当机車車輛的車輪沿鋼軌經行时，鋼軌截面产生轉動和由此而引起的各点的移动，軌底时而向前，时而往后。今研究一个車輪通过时的特征。

在运行着的車輪的前方等于撓曲半波<sup>①</sup>的距离处，鋼軌的截面是垂直的。

由于車輪趋近研究的截面，截面越来越向逆时針的方向轉動<sup>②</sup>，軌底各点向車輪运行的前方移位，如图 3 所示。

当車輪处在离开研究断面四分之一的撓曲半波处时，因截面轉動而引起的軌底移动值达到最大，在图 3 中以  $\Delta x_\varphi^*$  表示。正号表明軌底的点向前位移。

当車輪繼續趋近于研究的截面时，截面就开始向另一边（順时針的一边）轉動，而軌底点則向原来的位置后移。直接处在車輪下的截面是直的，此时基础各点的水平移动为零。在运行車輪的后方，截面仍按順时針方向繼續轉動，軌底的点向后移，直到距  $\frac{S}{4}$  处点的偏离不超过最大值（以  $\Delta x_\varphi$  表示）为止。负号表示向反向运行一方的后面对原来位置产生的偏移值。

① 國內鐵路上，上部建築的撓曲半波長度 S，一般变化在 210~310cm 之間。

② 图 3 上所分析的是說明車輪左右滾轉时的情况。当車輪向相反方向运行时，鋼軌截面的轉動将发生在另一方向上。

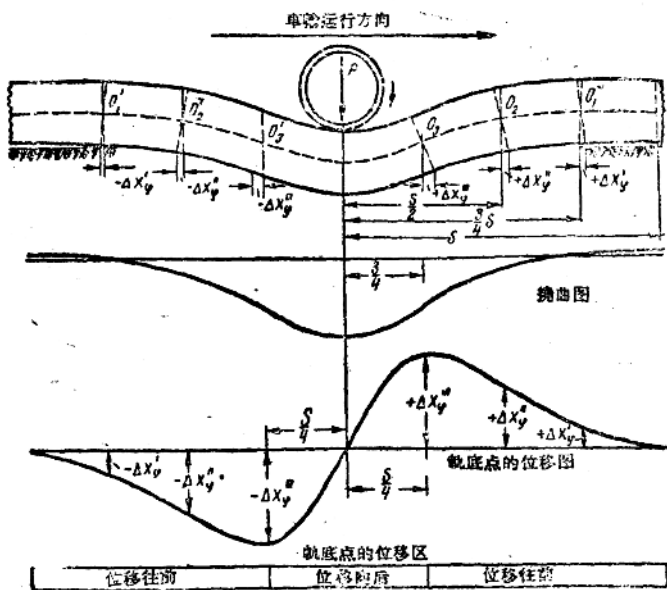


图3 机车車輪經行时，軌底点的位移示意图

当車輪依次离开研究的截面时，截面将变直，当截面在撓曲半波的末端时，截面开始垂直，基础的点回复到原有的位置上。

这样，当車輪經行时，軌底每一个点在車輪前的向前移，在車輪下是后移的，在車輪最后再向前移。

上述軌底点移动的全部过程，是截面对分布在鋼軌中性軸上  $O_1$ ,  $O_2$  及  $O_3$  等点轉动的結果。在一般情况下，当鋼軌撓曲时，其中性軸的水平投影开始变小，截面轉动的点靠向車輪的一边。因此，由于截面的轉动，軌底的点向車輪的一方移动，由于中性軸投影长度的縮短而向另一方移动，軌底点的实际移动值  $\Delta x_\phi$  为下列值之差，即

$$\Delta x_\phi = \Delta x_\phi - \Delta x_0 \quad (3)$$

正如寬軌鐵路的計算中所指出的，撓曲時中性軸投影長度的縮短，與截面因轉動而引起軌底點的移動相比較，小至可以略去不計；但這個因素可以有很大的修正，並在考察鋪設於松軟地基（例如泥炭地基）的窄軌鐵路的線路爬行時，必須予以考慮。

### 3. 在非制動區段上造成線路爬行的原因

在上一節中研究了車輪在鋼軌上滾動時軌底點的移動特徵。由於軌底釘連於軌枕以及基礎表面因摩擦力而引起與軌底有關的彈性基礎，它可以連同軌底發生移動。

當軌底與基礎十分密合時，鋼軌截面的轉動不會引起其相互間的滑動，對離開運行著的車輪等距的基礎之點，對中性位置的彈性偏差值在鋼軌截面轉動時是一樣的。

沒有偏離於基礎原來位置的中性點，將處在車輪的下面。由於車輪前基礎彈性偏差引起的縱向力是在車輪運行的反方向；而車輪後基礎彈性偏差引起的縱向力，則在車輪運行的前方；按絕對值來說，這些力是相等的，也沒有線路

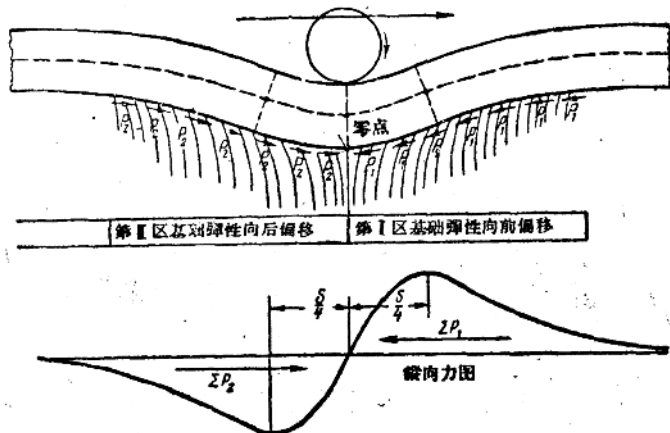


图4 采用强力的中间扣件时縱向力的作用示意图